

Н. Д. Голдина

(Новосибирск)

ЗЕРКАЛА МОЩНЫХ АРГОНОВЫХ ЛАЗЕРОВ УФ-ДИАПАЗОНА

Исследована возможность применения ионно-плазменных покрытий из Ta_2O_5/SiO_2 для зеркал мощных непрерывных ионных аргоновых лазеров УФ-диапазона. Определены коэффициенты поглощения и пороги разрушения диэлектрических зеркал на длине волны 350 нм.

Устойчивость интерференционных покрытий к мощному лазерному излучению зависит от способа изготовления и свойств материалов многослойников. Если для импульсных эксимерных лазеров одним из сдерживающих факторов для дальнейшего повышения их мощности является лучевая прочность покрытий, то для непрерывных аргоновых ионных лазеров с небольшим коэффициентом усиления существенны, помимо этого, и оптические потери зеркал. Наиболее полно в ближнем ультрафиолетовом (УФ) диапазоне исследованы зеркала для высокоеффективных импульсных эксимерных лазеров. По оценкам специалистов, наибольшую лучевую прочность имеют покрытия HfO_2/SiO_2 [1, 2] и HfO_2/MgF_2 [3], изготовленные методом электронно-лучевого испарения (ЭЛИ). Имеется лишь несколько работ [4, 5], посвященных применению в УФ-диапазоне оксидных покрытий, полученных ионно-плазменным распылением. Поэтому представляет интерес исследование возможности применения таких покрытий для мощных непрерывных аргоновых лазеров УФ-диапазона.

Исследуемые покрытия изготавливались методом катодного распыления (КР) мишней (Ta, Zr, Hf, Y, Si) в реактивной среде (смесь аргона с кислородом) [6]. Многослойные интерференционные зеркала из Ta_2O_5/SiO_2 , ZrO_2/SiO_2 , HfO_2/SiO_2 и Y_2O_3/SiO_2 напылялись на кварцевые подложки. Оптимальный режим распыления определялся экспериментально в соответствии с результатами испытаний зеркал в резонаторе аргонового лазера на длине волны 350 нм. Было найдено, что многослойные зеркала Ta_2O_5/SiO_2 увеличивают мощность лазера в 2 раза по сравнению с зеркалами из других материалов.

Оптические свойства лучших образцов зеркал с КР-покрытиями из Ta_2O_5/SiO_2 сравнивались с ЭЛИ-зеркалами из ZrO_2/SiO_2 , изготовленными на стандартной промышленной установке.

Коэффициент поглощения определялся методом лазерной калориметрии по экспериментальной схеме, описанной в [6]. Поверхность термически изолированного зеркала облучалась световым пучком $\varnothing 10$ мм непрерывного аргонового УФ-лазера мощностью 40 Вт. Образец первоначально находился в тепловом равновесии с окружающей средой, теплоотвод обеспечивался путем свободной конвекции воздуха. Изменение температуры боковой поверхности кварцевой подложки ($\varnothing 40$ мм, толщина 10 мм) в течение двух минут после включения излучения регистрировалось термопарой хромель-копель, ЭДС которой измерялась цифровым ампервольтметром.

Из решения задачи о динамике роста температуры подложки конечных размеров при поверхностном поглощении излучения [6] следует, что на начальном участке температура возрастает по линейному закону и с хорошим приближением коэффициент поглощения A можно определять из выражения

$$AP_0 = c(d(\Delta T)/dt) \Big|_{t=0}, \quad (1)$$

где P_0 — падающая мощность; c — объемная теплоемкость (для плавленного кварца $c = 1,7 \text{ Дж} \cdot \text{см}^{-3} \cdot \text{К}^{-1}$); ΔT — измеренное изменение температуры.

В таблице указаны значения A , определенные по (1) на основании экспериментальных данных. Видно, что коэффициенты поглощения лучших КР- и ЭЛИ-зеркал равны 0,1 %.

Лучевая прочность измерялась по следующей экспериментальной схеме.

Непрерывный УФ-лазер работал в многомодовом режиме с распределением интенсивности по поперечному сечению светового пучка, близким к гауссову, расходимость которого составляла $1,1 \cdot 10^{-3}$ рад. Для фокусировки излучения использовалась кварцевая линза. Диаметр фокального пятна равнялся 28 ± 3 мкм. При постепенном увеличении мощности УФ-лазера линза слегка сканировалась вдоль оси с целью точной настройки фокуса на поверхность зеркала. Критерием разрушения покрытия служило появление на экране, равномерно освещенном спонтанным излучением от разрядной трубки, хаотических ярких пятен, а на поверхности зеркала — вспышек, искрения.

В таблице приведены величины лучевой прочности W зеркал. Для КР-покрытий наблюдалась хорошая воспроизводимость W в разных точках на поверхности зеркала. Под микроскопом были видны кратеры с ровными оправленными краями глубиной в несколько микрон и диаметром 100—200 мкм. Лучевая прочность ЭЛИ-покрытий превысила $8,1 \text{ МВт}/\text{см}^2$. Мощности имеющегося УФ-лазера не хватило, чтобы разрушить это покрытие.

Для относительного сравнения порогов разрушения измерялась лучевая прочность подложки из кронового стекла К8 ($\varnothing 40$ мм, толщина 10 мм), коэффициент пропускания которого на длине волны 350 нм равнялся всего 85 % вследствие начидающегося УФ-поглощения. При $W = 1,5 \text{ МВт}/\text{см}^2$ появлялись трещины, при увеличении экспозиции стекло начинало плавиться, образуя глубокое отверстие.

Как и для видимого диапазона, обнаружилось, что при эксплуатации зеркал внутри разрядной трубки лазера лучевая стойкость покрытий не прямо связана с величиной W , измеренной в сфокусированном пучке. Так, замечено, что ЭЛИ-покрытия скорее, чем КР-покрытия, повреждаются и изменяют цвет из-за коротковолнового ультрафиолетового излучения разряда [7].

Таким образом, полученные данные свидетельствуют, что КР-покрытия могут конкурировать с традиционными ЭЛИ-покрытиями в качестве зеркал мощных непрерывных ионных лазеров ближнего УФ-диапазона.

Экспериментальные измерения зеркал с УФ-лазером проводились совместно с С. А. Бабиным. Автор благодарит его за участие.

СПИСОК ЛИТЕРАТУРЫ

1. Folty S. R., Newnam B. E. Ultraviolet damage resistance of dielectric reflectors under multiple-shot irradiation // IEEE J. Quant. Electron.—1981.—QE-17.—P. 2092.
2. Rainer F., Lowdermilk W. H., Milam D. et al. Materials for optical coatings in the ultraviolet // Appl. Opt.—1985.—24, N 4.—P. 496.
3. Клементов А. Д., Морозов Н. В., Сагитов С. И., Сергеев П. Б. Лучевая прочность поверхности оптических материалов и зеркал для 248 и 193 нм // Квантовая электрон.—1986.—13, № 10.
4. Pawlewicz W. T. Optical coating materials for the ultraviolet selection and characteristics // Proc. SPIE.—1984.—476.—P. 163.

Образцы		$A, \%$	$W, \text{МВт}/\text{см}^2$
КР	Плотное	0,117	3,5
	$T = 1,5 \%$	0,107	4,0
ЭЛИ	Плотное	0,094	> 8,1
	$T = 2 \%$	0,089	—
Стекло К8, $T = 85 \%$ для 350 нм		—	1,5

5. Pawlewicz W. T., Hays D. D., Martin P. M. High band-gap oxide optical coatings for 0,25 and 1,06 μm fusion lasers // Thin Solid Films.—1980.—73.—P. 169.
6. Голдина Н. Д., Донин В. И., Николаев Г. Н., Тимофеев Т. Т. Зеркала мощных непрерывных аргоновых лазеров // Квантовая электрон.—1987.—14, № 3.
7. Бабин С. А., Голдина Н. Д., Донин В. И. и др. Генерационные характеристики и параметры плазмы сильноточных аргоновых лазеров // Квантовая электрон.—1989.—16, № 11.

Поступило в редакцию 21 декабря 1989 г.

АКУСТООПТИЧЕСКИЙ ИЗМЕРИТЕЛЬ КООРДИНАТЫ ОПТИЧЕСКОГО ПУЧКА

Описаны принцип работы и результаты испытаний макета нового прибора, позволяющего проводить измерения перемещения центра тяжести оптического пучка относительно акустооптической шкалы прибора с разрешающей способностью порядка единиц микрон. Обсуждаются возможные области применения: измерение угловых флуктуаций оптического пучка, вибраций деталей механизмов, формы объектов, рефракции световых лучей.

Схема устройства для измерения координаты оптического пучка предложена нами в [1]. На рис. 1 изображен один из ее вариантов, испытанный на практике. Основа схемы — акустооптическая шкала, которая представляет собой системы из подложки 1 с возбудителем поверхности акустической волны (ПАВ) и опорной фазовой дифракционной решетки (ОДР) 2. Установлена ОДР вблизи подложки на расстоянии $l \ll \Lambda^2/\lambda$, период ОДР Λ_p равен длине ПАВ Λ . Оптическая волна (длина волны λ) падает на шкалу, отражается от поверхности подложки, разделяется на дифракционные порядки, а нулевой порядок выделяется и направляется на фотодетектор. Аналогичная оптическая схема описана нами в [2], где она применяется для оптического зондирования ПАВ. В такой схеме радиосигнал, введенный в звукопровод ПАВ через преобразователь, воспроизводится линейно в виде модуляции интенсивности нулевого дифракционного порядка и далее преобразуется в радиосигнал на выходе фотодетектора, причем форма выходного сигнала повторяет форму радиосигнала, введенного в звукопровод, а его групповая задержка зависит от смещения луча вдоль оси x . Такая же закономерность существует и для первых дифракционных порядков, однако уровень сигнала там ниже, чем в нулевом порядке.

В отличие от схемы зондирования ПАВ [2] в рассматриваемом устройстве в звукопровод вводится амплитудно-модулированный сигнал с несущей F_A и гармонической модуляцией частотой F_M (глубина модуляции 90—100 %). Частота модуляции F_M

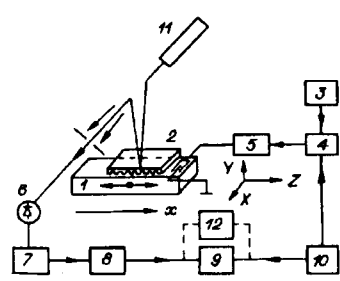


Рис. 1. Блок-схема измерителя:

1 — звукопровод, 2 — опорная решетка, 3 — генератор несущей частоты, 4 — модулятор, 5 — усилитель мощности, 6 — фотодетектор, 7 — измерительный усилитель, 8 — демодулятор, 9 — фазометр, 10 — генератор модулирующей частоты, 11 — источник оптического излучения, 12 — фазовый детектор